

## بررسی بروز آنتی ژن‌های P53 و PCNA در لکوپلاکیای مخاط دهان با و بدون دیسپلазی به روش ایمونوھیستوشیمی

دکتر نوشین محشم<sup>\*</sup>, دکتر نصرالله ساغروانیان<sup>\*\*</sup>, دکتر نوریه شریفی<sup>\*\*\*</sup>, دکتر محمد تقی شاکری<sup>\*\*\*\*</sup>, دکتر شیما عامل قریب<sup>\*\*\*\*\*</sup>  
دکتر ستاره شجاعی<sup>\*\*\*\*\*#</sup>

\* دانشیار گروه آسیب شناسی دهان، فک و صورت دانشکده دندانپزشکی و مرکز تحقیقات دندانپزشکی دانشگاه علوم پزشکی مشهد

\*\* استادیار گروه آسیب شناسی دهان، فک و صورت دانشکده دندانپزشکی و مرکز تحقیقات دندانپزشکی دانشگاه علوم پزشکی مشهد

\*\*\* دانشیار گروه آسیب شناسی بیمارستان قائم دانشگاه علوم پزشکی مشهد

\*\*\*\* دانشیار گروه اپیدمیولوژی و آمار حیاتی بیمارستان قائم دانشگاه علوم پزشکی مشهد

\*\*\*\*\* دندانپزشک

\*\*\*\*\* دستیار تخصصی گروه آسیب شناسی دهان و فک و صورت دانشکده دندانپزشکی دانشگاه علوم پزشکی مشهد

تاریخ ارائه مقاله: ۸۷/۹/۱۲ - تاریخ پذیرش: ۸۷/۱۰/۱۲

### Evaluation of P53 and PCNA Expression in Oral Leukoplakic Lesions with and without Epithelial Dysplasia by Immunohistochemistry Technique

Nooshin Mohtasham<sup>\*</sup>, Nasrollah Saghravanian<sup>\*\*</sup>, Noorieh Sharifi<sup>\*\*\*</sup>, MohammadTaghi Shakeri<sup>\*\*\*\*</sup>,  
Shima AmelGarieb<sup>\*\*\*\*\*</sup>, Setareh Shojaee<sup>\*\*\*\*\*#</sup>

\* Associate Professor, Dept of Oral and Maxillofacial Pathology, School of Dentistry and Dental Research Center of Mashhad University of Medical Sciences, Mashhad, Iran

\*\* Assistant Professor, Dept of Oral and Maxillofacial Pathology, School of Dentistry and Dental Research Center of Mashhad University of Medical Sciences, Mashhad, Iran

\*\*\* Associate Professor, Dept of Pathology, Ghaem Hospital, Mashhad University of Medical Sciences, Mashhad, Iran

\*\*\*\* Associate Professor, Dept of Epidemiology, Ghaem Hospital, Mashhad University of Medical Sciences, Mashhad, Iran  
\*\*\*\*\* Dentist

\*\*\*\*\* Postgraduate Student, Dept of Oral and Maxillofacial Pathology, Dental School, Mashhad University of Medical Sciences, Mashhad, Iran

Received: 3 December 2008; Accepted: 1 March 2009

**Introduction:** Leukoplakia is the most common precancerous lesion of the oral mucosa and may range microscopically from benign hyperkeratosis to invasive squamous cell carcinoma. P53 is a tumor suppressor protein; whereas, proliferative cell nuclear antigen (PCNA) is a proliferative marker. The aim of this study was to evaluate the immunohistochemical expressions of P53 and PCNA in oral leukoplakia with and without dysplasia.

**Materials & Methods:** The expression of P53 and PCNA proteins were determined immunohistochemically in paraffin sections of 53 leukoplakias (17 without dysplasia, 15 with mild dysplasia, 14 with moderate dysplasia and 7 with severe dysplasia), in addition to 10 normal oral mucosa. Statistical analysis was performed using One-Way ANOVA, Kruskal-Wallis, and Spearman tests.

**Results:** P53 protein was expressed in 60% of normal oral mucosa, 82.4% of leukoplakias without dysplasia and 100% of leukoplakias with dysplasia. PCNA protein was expressed in all of the specimens. There were statistical differences between P53 and PCNA expression among normal mucosa, leukoplakias with and without dysplasia, regarding their grading and severity ( $P<0.001$ ). There was a positive correlation between P53 and PCNA expression.

**Conclusion:** Increase in P53 and PCNA expression is related to the degree of dysplasia in oral leukoplakias. Therefore, we can use these markers in order to indicate and grade dysplastic lesions more exactly. PCNA and P53 could also be used as appropriate markers to estimate the potential of malignant transformation in oral leukoplakia lesions.

**Key words:** Oral leukoplakia, epithelial dysplasia, immunohistochemistry, P53 and PCNA.

# Corresponding Author: ShojaeeS851@mums.ac.ir

J Mash Dent Sch 2009; 33(2): 169-76.

### چکیده

**مقدمه:** لکوپلاکیا شایع ترین خایعه پیش بدخیم مخاط دهان می‌باشد و یک‌هایپرکراتوز خوش خیم تا کارسینوم سلول سنگفرشی مهاجم را در بر می‌گیرد. P53 پروتئین مهارکننده رشد تومور و PCNA بیومارکر تکثیر سلولی است. هدف از این مطالعه تعیین و مقایسه بروز آنتی ژن P53 و PCNA در لکوپلاکیای مخاط دهان با و بدون دیسپلازی و اپیتلیوم طبیعی مخاط دهان به روش ایمونوھیستوشیمی بود.

**مواد و روش ها:** در این مطالعه مقطعی تظاهر P53 و PCNA در ۵۳ نمونه از بلوك های پارافینی مربوط به لکوپلاکیا (بدون دیسپلазی ۱۷ مورد)، دیسپلازی خفیف (۱۵ مورد)، دیسپلازی متوسط (۱۴ مورد) و دیسپلازی شدید (۷ مورد) و مورد مربوط به مخاط طبیعی دهان به روش ایمونوهیستوشیمی بررسی شد. آزمون های آماری مورد استفاده آنالیز واریانس یک طرف، کروسکال-والیس و ضریب همبستگی اسپیرمن بود.

**یافته ها:** در این مطالعه، ۴۰٪ از نمونه های نرمال، ۷۶/۵٪ از لکوپلاکیاهای بدون دیسپلازی و ۹۳/۳٪ از لکوپلاکیاهای دیسپلاستیک، P53 را بروز دادند و PCNA در تمامی این ضایعات تظاهر یافت. اختلاف معنی داری از لحاظ تعداد سلول های P53 و PCNA مثبت و شدت تظاهر این مارکرها بین ضایعات وجود داشت ( $P < 0.01$ ). ارتباط مثبتی بین تظاهر P53 و PCNA مشاهده گردید.

**نتیجه گیری:** افزایش بروز P53 و PCNA با درجه دیسپلازی لکوپلاکیای دهان ارتباط دارد و از این دو نشانگر می توان برای درجه بندی دقیق تر دیسپلازی، همچنین یافتن ضایعات لکوپلاکیای دیسپلاستیک استفاده نمود. همچنین، می توان از P53 و PCNA بعنوان مارکرهای پیش بینی کننده تغییرات بدخیمی در ضایعات لکوپلاکیای دهانی استفاده نمود.

**واژه های کلیدی:** لکوپلاکیای دهانی، دیسپلازی اپی تلیوم، ایمونوهیستوشیمی، P53 و PCNA.

مجله دانشکده دندانپزشکی مشهد / سال ۱۳۸۸ دوره ۳۳ / شماره ۲ : ۷۶-۱۶۹.

**دیسپلازی اصولاً در اپی تلیوم دیده می شود و با مجموعه ای از تغییرات شامل عدم یک شکل بودن سلول ها و نیز از بین رفت نظم ساختاری آنها مشخص می شود. همچنین سلول های دیسپلاستیک تفاوت قابل توجهی در شکل (پلی مورفیسم) از خود نشان می دهند و اغلب دارای هسته های هیپر کروماتیک می باشند و نسبت اندازه هسته به سیتوپلاسم به طور غیر طبیعی بزرگ می باشند. اشکال میتوزی بیشتر از حد عادی دیده می شوند. به طور شایع میتوز در نواحی غیر طبیعی در اپی تلیوم ظاهر می شود.<sup>(۵)</sup> اکثر ضایعات لکوپلاکیایی در بیوپسی هیچ گونه تغییر دیسپلازی را نشان نمی دهند. شواهد مبنی بر وجود دیسپلازی اپی تلیال تنها در ۵٪ تا ۲۵٪ موارد (در صورت احتساب کلیه نقاط دهان) دیده شده است. در صورتی که دیسپلازی حضور داشته باشد، این تغییرات دیسپلاستیک معمولاً از قسمت های بازال و پارابازال اپی تلیوم آغاز می شوند. هر قدر اپی تلیوم بیشتر دیسپلاستیک گردد، تغییرات غیر معمول اپی تلیال به سوی درگیری کل ضخامت اپی تلیوم وسعت می یابند.<sup>(۶)</sup>**

در مطالعه ای که توسط Warnakulasuriya و همکارانش در سال ۲۰۰۸ بر روی سیستم های طبقه بندی دیسپلازی دهانی انجام شد، پیشنهاد شده است به علت اختلاف در بین پاتولوژی استها در تصمیم گیری برای وجود دیسپلازی و شدت آن، بهتر است از سیستم جدید طبقه بندی دو تابی (بدون دیسپلازی، مشکوک، ریسک پایین / متوسط تا شدید و متمایل

**مقدمه**  
لکوپلاکیا بنا به تعریف WHO عبارت است از: پلاک یا لکه (Patch) سفیدی که از لحاظ بالینی یا آسیب شناسی به هیچ ضایعه دیگری اطلاق نشود و نتوان آن را از روی مخاط پاک کرد.<sup>(۱-۴)</sup> به علت اینکه لکوپلاکیا محدوده وسیعی از یک هایپر کراتوز خوش خیم تا یک سلطان سلول سنگفرشی مهاجم را دربر می گیرد، بیوپسی برای تشخیص قطعی الزامی می باشد. مانند اکثر ضایعات سفید دهانی، رنگ ضایعه در نمای بالینی، ناشی از ضخیم شدن لایه کراتین سطحی یا ضخیم شدن لایه خاردار می باشد.<sup>(۱-۳)</sup>

لکوپلاکیا معمولاً به عنوان یک ضایعه پیش بدخیم یا پیش سلطانی در نظر گرفته می شود. شیوع تغییرات بدخیمی این ضایعات بیشتر از مخاط طبیعی است.<sup>(۱)</sup>

تغییرات هیستوپاتولوژیک از یک هایپر کراتوز، دیسپلازی تا کارسینوم درجا و سلطان سلول سنگفرشی متفاوت است.<sup>(۱)</sup>

از لحاظ میکروسکوپی، لکوپلاکیا به وسیله یک لایه ضخیم کراتین روى اپی تلیوم سطحی (هایپر کراتوز)، همراه یا بدون افزایش ضخامت لایه خاردار (آکانتوزیس) مشخص می شود. برخی از لکوپلاکیاهای در عین حال که هایپر کراتوز سطحی دارند، آترووفی یا نازک شدن اپی تلیوم زیرین را نشان می دهند. اغلب در بافت همبندی زیرین، تعداد متفاوتی از سلول های آمامی مزمن مشاهده می شوند.<sup>(۱-۳)</sup>

PCNA در لکوپلاکیای مخاط دهان با و بدون دیسپلазی و اپیتیلوم طبیعی مخاط دهان به روش ایمونوھیستوشیمی بود.

### مواد و روش‌ها

در این مطالعه توصیفی-تحلیلی که به صورت مقطعی اجرا گردید، نمونه‌ها از آرشیو دانشکده دندانپزشکی مشهد بخش آسیب‌شناسی تهیه شد. نمونه‌های مورد مطالعه شامل ۶۳ بلوک موجود در بایگانی بخش آسیب‌شناسی دانشکده دندانپزشکی مشهد بود. ۵۳ مورد از این ۶۳ بلوک، مربوط به لکوپلاکیا<sup>(۱)</sup> ۱۷ مورد بدون دیسپلازی، ۱۵ مورد با دیسپلازی خفیف، ۱۴ مورد با دیسپلازی متوسط و ۷ مورد با دیسپلازی شدید و ۱۰ مورد مربوط به مخاط طبیعی دهان بود. ولی به دلیل آماسی بودن بافت همبندی مربوط به مخاط طبیعی دهان در اکثر موارد، نتوانستیم نمونه‌های بیشتری تهیه نماییم.

پس از بازبینی نمونه‌ها توسط دو پاتولوژیست و نشانه‌گذاری کانون مناسب از هر بلوک پارافینی دو برش ۴ میکرونی جهت رنگ‌آمیزی ایمونوھیستوشیمی برای مشخص شدن میزان بروز پروتئین‌های P53 و PCNA طبق دستورالعمل کارخانه سازنده (Novo Castra) تهیه گردید.

روش رنگ‌آمیزی: پس از تهیه برش‌های بافتی از بلوک‌های پارافینی به ضخامت ۴ میکرون، آنها را بمدت ۲۴ ساعت در حرارت اتفاق قرار دادیم. سپس آنها را در گزینلن دپارافینه کرده و سپس مراحل رنگ‌آمیزی را براساس دستورالعمل کارخانه سازنده (Novo Castra) بدینگونه انجام دادیم: به منظور بازیافت آنتی‌ژنی ابتدا آنها را در محلول سیترات در ماکروویو به مدت ۳۵ دقیقه قرار دادیم. سپس آنها را با آب مقطر شسته و آنها را در محیط مرطوب گذاشتیم و پس از آن به ترتیب در محلول‌های پراکسیداز، آنتی‌بادی (Link)، استرپتاویدین، کروموزن، هماتوکسیلین گذاشته و در بین هریک از مراحل فوق، به مدت ۵ دقیقه آنها را در آب مقطر شستشو دادیم. سپس در الکل مطلق قرار داده و با چسب اتلان چسباندیم. اسلایدهای رنگ‌آمیزی شده زیر میکروسکوپ نوری با درشت نمایی  $\times 400$  و  $\times 100$  تحت مطالعه قرار گرفته و با استفاده از مقایسه با نمونه شاهد مثبت

به ریسک بالا) استفاده کرد. به نظر می‌رسد کاهش میزان انتخاب از سیستم سه‌تایی به دو‌تایی، باعث افزایش میزان توافق در بین پاتولوژیست‌ها می‌شود. میزان کارآیی این سیستم باید در آینده ارزیابی شود.<sup>(۲)</sup>

PCNA<sup>(۱)</sup> یک پروتئین با وزن مولکولی ۳۶ کیلو Dalton می‌باشد و در اوایل فاز G1 و فاز S از چرخه سلولی ساخته می‌شود. این پروتئین همچنین در ارتباط با مکانیسم‌های تخریب و ترمیم DNA می‌باشد. PCNA بطور قوی با مناطق هسته‌ای که در آن سنتز DNA اتفاق می‌افتد مرتبط می‌باشد PCNA یک مارکر مفید در پرولیفراسیون سلولی است چون تظاهر و انتشار آن با میزان پرولیفراسیون سلولی و سنتز DNA مرتبط می‌باشد.

P53 یک مهارکننده ذاتی رشد سلولی می‌باشد و شکل جهش یافته آن در ایجاد تومور نقش دارد.<sup>(۳)</sup> ژن سرکوب کننده تومور P53 اثرات مهارکننده رشد خود را حداقل تا حدی به وسیله تنظیم افراشی تولید مهارکننده کینازهای وابسته به سیکلین اعمال می‌کند. موتاسیون این ژن و افزایش پروتئین آن در کارسینوم‌های سر و گردن مشاهده گردد.<sup>(۴)</sup> Soares و همکارانش در سال ۲۰۰۶ یک مطالعه گذشته نگر بر روی ۹۵ بیوپسی دهانی انجام دادند که ۲۷ نمونه فیبروز هیپرپلازی، ۴۰ نمونه لکوپلاکیا و ۲۸ نمونه کارسینوم سلول‌های سنگفرشی دهانی بود. از ۴۰ نمونه لکوپلاکیا، ۱۶ مورد غیردیسپلاستیک و ۲۴ مورد دیسپلاستیک بودند که ۵۰٪ آنها دیسپلازی متوسط تا شدید داشتند. مقایسه بین این ۴ گروه نشان داد که P53 و Ki67 به ترتیب در ضایعات خوش‌حیم، پیش‌بدخیم و بدخیم افزایش داشت. در مقابل ارتباط بین افزایش سطح PCNA و ضایعات پیش‌بدخیم و بدخیم غیرممکن بود و در نتیجه آنها نتیجه گرفتند که PCNA مارکر خوبی برای نشان دادن ضایعات پیش‌سرطانی نمی‌باشد.<sup>(۵)</sup>

هدف از این مطالعه تعیین و مقایسه بروز آنتی ژن P53 و

با دیسپلазی شدید (۴۲/۹٪) و مربوط به کل ضخامت اپیتیلیوم بود (تصویر ۱).

در نهایت ۴۰٪ نمونه های نرمال و ۱۷/۶٪ لکوپلاکیای بدون دیسپلازی P53 را بروز دادند. با توجه به آزمون کروسکال-والیس اختلاف معنی داری از لحاظ درجه بندی P53 در بین گروه های تحت مطالعه وجود داشت ( $P<0/001$ ). با توجه به این آزمون اختلاف معنی داری از لحاظ درجه بندی P53 در بین انواع لکوپلاکیا وجود داشت ( $P<0/001$ ). همچنین اختلاف معنی داری از لحاظ درجه بندی P53 در بین سه گروه مخاط نرمال، لکوپلاکیا بدون دیسپلازی و لکوپلاکیاهای با دیسپلازی به عنوان یک مجموعه وجود داشت ( $P<0/001$ ) (جدول ۱). تمامی نمونه ها PCNA را بروز دادند. بیشترین میانگین درصد بروز PCNA در بین گروه های تحت مطالعه در لکوپلاکیا با دیسپلازی شدید ( $87/1\pm12/5$ ) و کمترین میزان آن در لکوپلاکیا بدون دیسپلازی ( $15/0/6\pm7/1$ ) دیده شد و با توجه به آنالیز واریانس یک طرفه اختلاف آماری معنی داری از لحاظ بروز PCNA بین گروه های تحت مطالعه وجود داشت ( $F=50/395$  و  $P<0/001$ ).

بر طبق آزمون اختلاف آماری معنی داری از لحاظ بروز PCNA در بین انواع لکوپلاکیا وجود داشت ( $P<0/001$ ) و همچنین اختلاف آماری معنی داری از لحاظ بروز PCNA بین سه گروه مخاط نرمال، لکوپلاکیا بدون دیسپلازی و مجموعه لکوپلاکیاهای با دیسپلازی وجود داشت ( $F=54/752$  و  $P<0/001$ ). با توجه به آزمون کروسکال-والیس اختلاف آماری معنی داری از لحاظ درجه بندی PCNA در بین ۵ گروه تحت مطالعه وجود داشت ( $P<0/001$ ) و همچنین اختلاف آماری معنی داری از لحاظ درجه بندی سلول های اپیتیلیالی ضایعات، در بروز PCNA در بین انواع لکوپلاکیاهای وجود داشت ( $P<0/001$ ) که در لکوپلاکیا بدون دیسپلازی در رابطه با درجه بندی (+) از همه بیشتر و در لکوپلاکیا با دیسپلازی شدید از همه کمتر بود. درجه بندی (++) در لکوپلاکیا با دیسپلازی متوسط از همه بیشتر و در لکوپلاکیا با دیسپلازی شدید از همه کمتر بود. درجه بندی (+++) در

(آدنوكارسينوم کولون، گره لنفی راکتیو) از صحت رنگ آمیزی اطمینان حاصل گشت. برای ارزیابی فعالیت نشانگر P53 نمونه هایی که کمتر از ۵٪ سلول های اپیتیلیالی آنها رنگ گرفته بود به عنوان (-)، نمونه هایی که ۲۵-۶۰٪ سلول های اپیتیلیالی آنها رنگ گرفته بود به عنوان (+) در نظر گرفته شدند. نمونه هایی که بیش از ۵۰٪ سلول های اپیتیلیالی آنها رنگ گرفته بود به عنوان (++) در نظر گرفته شدند.<sup>(۱۰)</sup> در نهایت چنانچه بیش از ۵۰٪ سلول های اپیتیلیالی رنگ می گرفت به عنوان (+++) در نظر گرفته می شد. برای ارزیابی فعالیت نشانگر PCNA، تعداد سلول های مثبت در حداقل ۱۰۰۰ سلول در مناطقی با حداکثر فعالیت PCNA شمارش گردید و تعداد سلول های مثبت به شکل درصدی از کل سلول های شمارش شده برآورد شد (Label Index).<sup>(۱۱)</sup>

از لحاظ شدت رنگ پذیری نشانگرها، رنگ پذیری هسته سلول های تومورال به ۴ دسته عدم بروز (-) ضعیف (قهقهه ای کم رنگ +)، متوسط (قهقهه ای بلطفی++) و شدید (قهقهه ای سوخته (+++) تقسیم بندی شدند.<sup>(۱۲)</sup>

موقعیت بروز P53 و PCNA به تفکیک محل در اپیتیلیوم در (۱) طبقه بازال، (۲) در طبقه بازال و پارابازال، (۳) در ۱/۳ ضخامت اپیتیلیوم، (۴) در ۱/۲ ضخامت اپیتیلیوم، (۵) در ۲/۳ ضخامت اپیتیلیوم، (۶) در تمام ضخامت اپیتیلیوم مشخص گشت.

آزمون های آماری مورد استفاده عبارت بود از آزمون های آنالیز واریانس یک طرفه، کروسکال-والیس و ضربی همبستگی اسپیرمن. در همه آزمون ها سطح معنی داری ۰/۰۵ بود.

## یافته ها

اکثربت نمونه های بافت نرمال و لکوپلاکیای بدون دیسپلازی، پروتئین P53 را در طبقه بازال بروز دادند (به ترتیب ۵۰٪ و ۷۶/۵٪) و همچنین اکثربت نمونه های لکوپلاکیا با دیسپلازی خفیف، P53 را در ناحیه بازال بروز دادند (۶۶/۷٪). این ارقام در مورد لکوپلاکیا با دیسپلازی متوسط (۲۱/۴٪) و مربوط به ناحیه بازال و پارابازال و برای لکوپلاکیا

با توجه به آنالیز واریانس یک طرفه اختلاف معنی‌داری بین گروه‌های تحت مطالعه از نظر بروز P53 وجود داشت ( $F=63/9$  و  $P<0/001$ ).

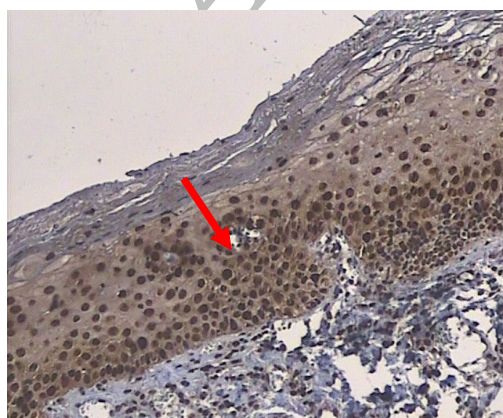
بر طبق همین آزمون اختلاف معنی‌داری از لحاظ درصد بروز P53 در بین انواع لکوپلاکیا وجود داشت ( $P<0/001$  و  $F=68/6$ ). همین طور تفاوت معنی‌داری از لحاظ بروز P53 بین بافت نرمال، لکوپلاکیای بدون دیسپلازی و مجموعه لکوپلاکیا با دیسپلازی وجود داشت ( $P<0/001$  و  $F=9/097$ ). با توجه به ضریب همبستگی اسپیرمن، P53 و PCNA با یکدیگر ارتباط مستقیم داشته و همسوی با هم عمل می‌کنند ( $r=0/764$ ) (نمودار ۱).

لکوپلاکیا با دیسپلازی شدید از همه بیشتر بود (تصویر ۲). همچنین اختلاف آماری معنی‌داری از لحاظ درجه‌بندی PCNA بین سه گروه مخاط نرمال، لکوپلاکیای بدون دیسپلازی و مجموعه لکوپلاکیاهای با دیسپلازی وجود داشت ( $P<0/001$ ) (جدول ۲).

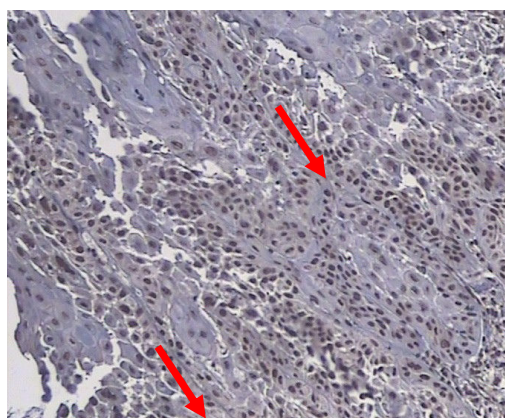
با استفاده از آنالیز واریانس یک طرفه اختلاف آماری معنی‌داری میان ۵ گروه وجود داشت ( $P<0/001$ ). همچنین اختلاف آماری معنی‌داری میان انواع لکوپلاکیا وجود داشت ( $P<0/001$ ) و تفاوت معنی‌داری بین بافت نرمال، لکوپلاکیا بدون دیسپلازی و مجموعه لکوپلاکیا با دیسپلازی وجود داشت ( $P<0/001$ ) (جدول ۳).

جدول ۱ : فراوانی درجه بندی تظاهر نشانگر P53 در گروه‌های تحت مطالعه بر حسب تعداد سلول‌های شمارش شده مثبت

	+++	++	+	-	ضایعه	
درصد	تعداد	درصد	تعداد	درصد	تعداد	
۰/۰	۰	۰/۰	۰	۴۰/۰	۶	بافت نرمال
۰/۰	۰	۰/۰	۰	۲۳/۵	۴	لکوپلاکیا بدون دیسپلازی
۰/۰	۰	۱۳/۳	۲	۶۶/۷	۳	لکوپلاکیا با دیسپلازی خفیف
۷/۲	۱	۵۷/۱	۸	۳۵/۷	۰	لکوپلاکیا با دیسپلازی متوسط
۷۱/۴	۵	۲۸/۶	۲	۰/۰	۰	لکوپلاکیا با دیسپلازی شدید



تصویر ۲ : تظاهر شدید P53 با سلولاریتی +++ در تمام ضخامت - دیسپلازی شدید (بزرگنمایی  $\times 100$ )



تصویر ۱ : تظاهر شدید P53 با سلولاریتی ++ در دیسپلازی شدید در تمام ضخامت اپیتلیوم (بزرگنمایی  $\times 100$ )

جدول ۲ : محل بروز PCNA در گروه های تحت مطالعه

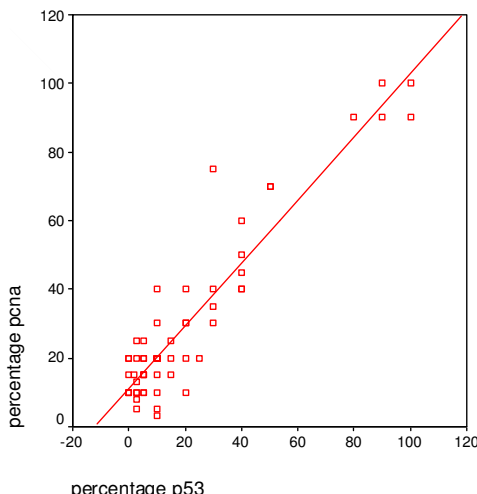
نرمال	محل بروز										
		لکوپلاکیا با دیسپلازی شدید	لکوپلاکیا با دیسپلازی متوسط	لکوپلاکیا بدون دیسپلازی خفیف	لکوپلاکیا بدون دیسپلازی	تعداد	درصد	تعداد	درصد	تعداد	درصد
ناحیه بازار		۰/۰	۰	۴۳/۷	۷	۷۰/۵	۱۲	۶۰/۰	۶		
ناحیه بازار و پارابازار		۰/۰	۳۸/۴	۵	۳۷/۵	۶	۲۹/۴	۵	۴۰/۰	۴	
ناحیه ۱/۳ ضخامت اپی تلیوم		۰/۰	۱۵/۳	۲	۱۲/۵	۲	۰/۰	۰	۰/۰	۰	
ناحیه ۱/۲ + ۲/۳ ضخامت اپی تلیوم		۵۷/۱	۴	۲۳/۰	۳	۶/۲۵	۱	۰/۰	۰	۰/۰	۰
کل ضخامت اپی تلیوم		۴۲/۸	۳	۲۳/۰	۳	۰/۰	۰	۰/۰	۰	۰/۰	۰

جدول ۳ : میانگین و انحراف معیار درصد سلول های اپی تلیالی رنگ آمیزی شده با PCNA و P53

P53 (انحراف معیار) میانگین	تعداد	PCNA (انحراف معیار) میانگین	تعداد	ضایعه
۴/۲ (۶/۱)	۱۰	۱۸/۰ (۴/۲)	۱۵	بافت نرمال
۷/۱ (۵/۷)	۱۷	۱۵/۰ (۷/۱)	۱۷	لکوپلاکیا بدون دیسپلازی
۱۷/۸ (۱۰/۳)	۱۵	۲۲/۶ (۱۷/۸)	۱۶	لکوپلاکیا با دیسپلازی خفیف
۱۲/۱ (۱۲/۳)	۱۴	۳۴/۶ (۱۲/۱)	۱۳	لکوپلاکیا با دیسپلازی متوسط
۱۲/۵ (۱۲/۶)	۷	۸۷/۱ (۱۲/۵)	۷	لکوپلاکیا با دیسپلازی شدید

 $F=۶۳/۹$  و  $P<0/001$  $F=۵۰/۳۹۵$  و  $P<0/001$ 

نتیجه آنالیز واریانس



نمودار ۱ : ارتباط ظاهر P53 و PCNA در ضایعات مورد مطالعه

## بحث

از لحاظ میکروسکوپی لکوپلاکیا به وسیله یک لایه ضخیم کراتین روی اپی تلیوم سطحی همراه یا بدون افزایش ضخامت لایه خاردار مشخص می شود. تغییرات هیستوپاتولوژیک از یک هیپرکاتوز، دیسپلازی تا کارسینوم درجا و سرطان سلول

لکوپلاکیا شایع ترین ضایعه پیش بدخیم در مخاط دهان است.<sup>(۱۳)</sup> علت آن همچنان ناشناخته باقی مانده است.<sup>(۴)</sup> البته موارد متعددی را در بروز آن دخیل دانسته اند که شامل سینگکاوا یا تنبایکوی جویدنی، برخی از میکرووارگانیسم ها و ...

می باشد.<sup>(۱۵) (۱۶) (۱۷)</sup>

نمونه‌های بافت نرمال و دیسپلазی خفیف، بیشتر در لایه بازال و در دیسپلازی شدیدتر به سمت لایه‌های سطحی و در نهایت کل ضخامت اپی‌تیلیوم بوده است. این نتایج در مورد نشانگرهای P53 و PCNA مشابه مطالعات ذیل بوده است.

در مطالعه Tsuzuki، ظاهر PCNA را در سرطان سلول سنگفرشی با استفاده از تکنیک ایمنوھیستوشیمی نشان داد و نتیجه گرفت که PCNA با پیشرفت بیماری افزایش می‌یابد.<sup>(۱۸)</sup> در مطالعه Iwasa، P53 و PCNA مثبت بطور ثابتی از ۳۵ تا هیپرپلازی تا دیسپلازی خفیف، متوسط، شدید و در نهایت سرطان سلول سنگفرشی افزایش نشان داد که با مطالعه ما در مورد لکوپلاکیا همخوانی دارد.<sup>(۱۹)</sup>

همینطور در مطالعه Girod که بر روی ۲۵۶ نمونه پیش‌بدخیم، بدخیم و متاستاتیک نشان داده شد که یک افزایش در ظاهر PCNA از بافت طبیعی به سمت سرطان سلول سنگفرشی با درجه تمایز متوسط وجود دارد.<sup>(۲۰)</sup>

Lan و همکارانش نشان دادند که میزان بروز P53 و PCNA با درجه دیسپلازی ضایعات لکوپلاکیا و درجه‌بندی هیستولوژیک سرطان سلول سنگفرشی حفره دهان ارتباط مستقیم دارد و در اپی‌تیلیوم دیسپلاستیک این دو مارکر در نواحی سوپرآبازال و لایه‌های تحتانی تر طبقه خاردار بروز می‌یابند که از لحاظ خصوصیات دیسپلاستیک با مطالعه ما مطابقت دارد.<sup>(۲۱)</sup>

در مقابل می‌توان از مطالعه Anghelina و همکاران نام برد که میزان بروز P53 در نمونه‌های کارسینوم درجا در درصد پایینی از نمونه‌ها بروز یافته است (۲۸٪ دیسپلازی متوسط و فقط یک نمونه کارسینوم درجا) که ممکن است به دلیل اختلاف در نحوه رنگ‌آمیزی ایمنوھیستوشیمی باشد. البته در این مطالعه نشانگر PCNA در تعیین شدت دیسپلازی مفید دانسته شده است.<sup>(۲۲)</sup>

مطالعه دیگری که با نتایج تحقیق ما ناهمگون می‌باشد، مطالعه‌ای است که توسط Liu و Klein با استفاده از تکنیک ایمنوھیستوشیمی انجام گردید، نشان داده شد که مارکرهای پرولیفراسیون سلولی مثل PCNA، قادر به درجه‌بندی

سنگفرشی متفاوت است.<sup>(۴و۳)</sup>

اکثر ضایعات لکوپلاکیا در بیوپسی هیچ‌گونه تغییر دیسپلازی را نشان نمی‌دهند و دیسپلازی اپی‌تیلیال تنها در ۵-۲۵٪ موارد دیده شده است.<sup>(۴)</sup>

P53 یک مهارکننده ذاتی رشد سلولی می‌باشد و شکل جهش یافته آن در ایجاد تومور نقش دارد.<sup>(۴و۷)</sup> یک مارکر دیگر که برای پیش‌بینی در بعضی از مطالعات پیشنهاد گردیده است، Proliferative cell nuclear antigen (PCNA) می‌باشد که جهت بررسی فعالیت تکثیری سلول‌ها استفاده می‌شود<sup>(۱۶)</sup> مطالعه ما که ظاهر P53 را هم از لحاظ تعداد سلول‌های اپی‌تیلیالی مثبت و هم از لحاظ شدت رنگ‌پذیری آنها بررسی نموده، نشان داده است که تعداد سلول‌های P53 مثبت و همچنین شدت رنگ‌پذیری آنها به ترتیب از بافت نرمال به سمت دیسپلازی شدید افزایش می‌یابد و این در حالی است که هر چه به سمت دیسپلازی شدید پیش می‌رویم محل بروز P53 از لایه‌های بازال در سلول‌های طبیعی به سمت لایه‌های سطحی تر و تمام ضخامت پیشرفت می‌کند.

این نتایج با تحقیق Soares و همکارانش مطابقت دارد. در این مطالعه نشان داده شد که ظاهر P53 به ترتیب از ضایعات خوش‌خیم به پیش‌بدخیم تا بدخیم افزایش می‌یابد.<sup>(۹)</sup>

همین طور در مطالعه‌ای که توسط Santos-Garcia با استفاده از تکنیک ایمنوھیستوشیمی انجام شد، مشخص گردید که ارزیابی نشانگر Ki-67 در مراحل اولیه ضایعات لکوپلاکیا و مارکر P53 در مراحل پیشرفته این ضایعات ارزشمند است و مطالعه این مارکرها می‌تواند در تشخیص زودرس ضایعات پیش‌سرطانی و نتیجتاً درمان آنها مفید باشد. این مطالعه از لحاظ بررسی P53 و نتایج آن، با مطالعه ما مطابقت نسبی دارد.<sup>(۱۷)</sup>

در مطالعه ما، بررسی بروز PCNA از لحاظ تعداد سلول‌های اپی‌تیلیالی مثبت و شدت رنگ‌پذیری آنها در گروه‌های هدف انجام شد که به ترتیب از دیسپلازی خفیف تا شدید افزایش داشت و همین طور محل بروز آن در

لکوپلاکیای دیسپلاستیک استفاده نمود. همچنین، می توان از PCNA و P53 بعنوان مارکرهای پیش بینی کننده تغییرات بدخیمی در ضایعات لکوپلاکیای دهانی استفاده نمود.

### تشکر و قدردانی

بدینوسیله نویسنندگان این مقاله از حمایت مادی و معنوی معاونت محترم پژوهشی دانشگاه علوم پزشکی مشهد در انجام این طرح تحقیقاتی قدردانی می گردد.

دیسپلازی در لکوپلاکیا نمی باشد و با توجه به سادگی در استفاده و پذیرش همگانی، Ki-67 را به عنوان یک مارکر قابل اعتماد برای پیش بینی بدخیمی پیشنهاد کردند.<sup>(۲۳)</sup>

### نتیجه گیری

افزایش بروز P53 و PCNA با درجه دیسپلازی لکوپلاکیای دهان ارتباط دارد و از این دو نشانگر می توان برای درجه بندی دقیق تر دیسپلازی، همچنین یافتن ضایعات

### منابع

1. Neville BW, Damm DD, Allen CM, Bouquot JE. *Oral & Maxillofacial Pathology*. 3<sup>th</sup> ed. China: W.B.Saunders Co; 2009. P. 388-97.
2. Gyeenberg MS, Glick M. *Burket's Oral Medicine Diagnosis and Treatment*. 10<sup>th</sup> ed. Spain: B.C. Decker; 2002. P. 85-125.
3. Regezi JA, Sciubba JJ, Jordan RCK. *Oral Pathology Clinical Pathologic Correlation*. 5<sup>th</sup> ed. Philadelphia: W.B.Saunders Co; 2008. P. 73-125.
4. Burns T, Breathnach SM, Cox N, Griffith CE. *Rook's Textbook of Dermatology*. 7<sup>th</sup> ed. USA: Black Well Co; 2004: P. 66-91.
5. Kumar V, Fausto N, Abbas A. *Robbins and Cotran Pathologic Basis of Disease*. 7<sup>th</sup> ed. China: W.B. Saunders Co; 2004. P. 292, 302-3, 328-31.
6. Warnakulasuriya S, Reibel J, Bouquot J, Dabelsteen E. Oral epithelial dysplasia classification systems: Predictive value, utility, weaknesses, and scope for improvement. *J Oral Pathol Med* 2008; 37(3): 127-33.
7. Sandra F, Nakamura N, Kanematsu T, Hirata M, Ohishi M. The role of MDM2 in the proliferative activity of ameloblastoma. *Oral Oncol* 2002; 38(2): 153-7.
8. Finlay CA, Hinds PW, Levine AJ. The P53 proto-oncogene can act as a suppressor of transformation. *Cell* 1989; 57(7): 1083-93.
9. Soares CP, Zuanon JA, Teresa DB, Fregonezi PA, Neto CB, Oliveira MR. Quantitative cell-cycle protein expression in oral cancer assessed by computer-assisted system. *Histol Histopathol* 2006; 21(7): 721-8.
10. Gnepp DR. *Diagnostic Surgical Pathology of the Head & Neck*. 1<sup>st</sup> ed. Philadelphia: W.B. Saunders Co; 2000. P. 3-4.
11. Lee JJ, Kuo MY, Cheng SJ, Chiang CP, Jeng JH, Chang HH, et al. Higher expressions of P53 and proliferating cell nuclear antigen (PCNA) in atrophic oral lichen planus and patients with areca quid chewing. *Oral Surg Oral Med Oral Pathol Oral Radiol Endod* 2005; 99(4): 471-8.
12. Dabbs DJ. *Diagnostic Immunohistochemistry*. 1<sup>st</sup> ed. London: Churchill Livingstone; 2002. P. 141-3.
13. Levin AJ, Perry ME, Chang A, Silver A, Dittmer D, Wu M, et al. The 1993 Walter Hubert Lecture: The role of the P53 tumour-suppressor gene in tumor genesis. *Br J Cancer* 1994; 69(3):409-16.
14. Fan GK, Chen J, Ping F, Geng Y. Immunohistochemical analysis of P57, P53 and HSP60 expressions in premalignant and malignant oral tissue. *Oral Oncol* 2006; 42(2): 147-53.
15. Banoczy J, Gintner Z, Dombic. Tobacco use and oral leukoplakia. *J Dent Educ* 2001; 65(4): 322-7.
16. Rosai J. *Rosai Ackerman's Surgical Pathology* 2 volume set. 9<sup>th</sup> ed. Edinburgh London: Mosby Co; 2004. P. 66.
17. Santos-Garcia A, Abad-Hernandez MM, Fonseca-Sanchez E, Cruz-Hernandez JJ, Bullon-Sopelana A. Proteic expression of P53 and cellular proliferation in oral leukoplakias. *Med Oral Patol Oral Cir Bucal* 2005; 10(1): 5-8, 1-5.
18. Tsuzuki H, Fujieda S, Sunaga H, Narita N, Tokuriki M, Saito H. Expression of P27 and apoptosis in oral leukoplakia. *Anticancer Res* 2003; 23(2): 1265-70.
19. Iwasa M, Imamura Y, Noriki S, Nishi Y, Kato H, Fukuda M. Immunohistochemical detection of early-stage carcinogenesis of oral leukoplakia by increased DNA-instability and various malignancy markers. *Eur J Histochem* 2001; 45(4): 333-46.
20. Girod SC, Pape HD, Krueger GR. P53 and PCNA expression in carcinogenesis of the oropharyngeal mucosa. *Eur J Cancer B Oral Oncol* 1994; 30(6): 419-23.
21. Lan HA, Zain RB, Saitoh M, Muramatsu Y, Shrestha P, Mori M. Proliferating cell nuclear antigen (PCNA) and P53 in epithelial dysplasia and squamous cell carcinoma of oral mucosa-a marker for poor tumor differentiation, increasing nuclear atypia and invasiveness? *Anticancer Res* 1996; 16(5): 3059-65.
22. Anghelina F, Ionita E, Popescu CF, Ionita I, Mogoanta C, Cioloșan S, et al. Clinical, morphological and immunohistochemical aspects in laryngeal premalignant lesions. *Rom J Morphol Embryol* 2006; 47(2): 169-74.
23. Liu SC, Klein-Szanto AJ. Markers of proliferation in normal and leukoplakic oral epithelia. *Oral Oncol* 2000; 36(2): 145-51.